

อิทธิพลตัวแปรการเชื่อมแบบมุนวนอิเล็กโทรดต่อสมบัติของโลหะเชื่อมเหล็กกล้าไร้สนิม 304

Effect of Rotating TIG Welding Electrode on AISI304 Welds Properties

กิตติพงษ์ กิมพงศ์¹ บุญส่ง จันทร์² และ ประจักษ์ อ่างนุญาตา³

^{1,2,3}ภาควิชาวิศวกรรมอุตสาหกรรม คณะวิศวกรรมศาสตร์ มหาวิทยาลัยเทคโนโลยีราชมงคลธัญบุรี อ.ธัญบุรี จ.ปทุมธานี 12110

E-mail: kittipong.k@en.rmutt.ac.th*

บทคัดย่อ

บทความนี้ มีจุดประสงค์หลักในการศึกษาการเปลี่ยนแปลงตัวแปรการเชื่อมทิกหมุนวนอิเล็กโทรดที่ประกอบด้วยความเร็วในการหมุนวนและความเร็วเดินแนวเชื่อม ที่มีผลต่อการเปลี่ยนแปลงโครงสร้างจุลภาคผลการทดลองโดยสรุปเมื่อดังนี้ การเพิ่มความเร็วรอบการหมุนอิเล็กโทรด ความเร็วในการเดินแนว และกระแสไฟฟ้าเชื่อม ส่งผลโดยตรงทำให้ระยะห่างระหว่างแขนเดนไดร์ททุติยภูมิลดลง แต่หากเพิ่มความเร็วรอบการหมุนมากเกินไป ทำให้น้ำโลหะระเหินออกจากบ่อหลอมละลายและไม่ทำให้เกิดแนวเชื่อมขึ้น ค่าความเร็วเดินแนวและกระแสไฟฟ้าที่มากเกินไป ทำให้ระยะห่างระหว่างแขนเดนไดร์ททุติยภูมิเพิ่มขึ้น ตัวแปรการเชื่อมที่มีค่าเหมาะสมที่สุด ที่ทำให้เกิดโครงสร้างเดนไดร์ทที่เล็กและละเอียดสุด คือ ความเร็วรอบ 300 rpm ความเร็วเดินแนว 175 mm/min และกระแสไฟฟ้า 70 แอมป์ร์ ที่ค่าประมาณ $5.5104 \mu\text{m}$

คำหลัก การเชื่อมทิก; ระยะห่างระหว่างแขนเดน

ไดร์ท; โครงสร้างจุลภาค;

Abstract

This paper aims to study an effect of the rotating electrode TIG welding parameters such as a rotating speed and a welding speed on a

variation of a welded metal microstructure. The main results are as follows. Increasing of a rotating speed, a welding speed and a welding current affected directly to decrease secondary dendrite arm spacing (SDAS). However, when the rotating speed was too high, the molten metal in the weld was seriously splashed out from the welded pool and produced an incomplete weld metal. The too high welding speed and welding current also increased SDAS. The optimum condition that could obtained the fine SDAS was a rotating speed of 300 rpm, a welding speed of 175 mm/min and a welding current of 70A with SDAS of $5.5104 \mu\text{m}$.

Keywords: GTAW; secondary dendrite arm spacing; microstructure;

1. บทนำ

เหล็กกล้าไร้สนิมเกรด 304 เป็นโลหะสำคัญในงานอุตสาหกรรมและชีวิตประจำวัน ที่มีการใช้งานในประเทศไทยอย่างกว้างขวาง ตัวอย่างเช่น การทำอุปกรณ์เครื่องครัว อุปกรณ์เกี่ยวกับการผลิตอาหาร หรือชิ้นส่วนต่างๆ ที่ต้องการวัสดุที่มีความต้านทานต่อการกัดกร่อน ในการนำเหล็กกล้าไร้สนิมเกรด 304 มา

ใช้งาน ในงานอุตสาหกรรมการทำเครื่องครัว การต่อปั๊ดเหล็กกล้าไร้สนิมเข้าด้วยกันที่มีความนิยมโดยทั่วไปคือ การเชื่อมทิก (Tungsten Inert Gas: TIG) แต่ข้อเสียของการเชื่อมนี้ คือ โลหะแนวเชื่อมจะเกิดการหลอมละลายเนื่องจากความร้อน และเกิดการแข็งตัวและก่อตัวของโครงสร้างเดนไดร์ท (Dendrite structure) ซึ่งเป็นโครงสร้างที่มีความแข็ง และส่งผลเสียทำให้ชิ้นงานที่ประกอบยากต่อการขึ้นรูป พับ ดัด โค้ง เป็นรูปปั่งต่างๆ ดังนั้นกระบวนการการทำลายโครงสร้างเดนไดร์ท เพื่อให้ได้โครงสร้างเกรนที่มีความกลมมนจึงเป็นที่ต้องการเพิ่มมากขึ้น เนื่องจากเป็นลักษณะโครงสร้างที่ความแข็งตัว มีความหนืดยืด สามารถทำการขึ้นรูปได้轻易

ที่ผ่านมา มีรายงานผลการวิจัยที่ทำการลดขนาดเม็ดเกรนในโลหะเชื่อม เช่น Mohandas and Reddy [1] ศึกษาเบรี่ยบเทียบการใช้การเชื่อมทิกแบบต่อเนื่องและแบบพลัลซ์ เพื่อการเชื่อมเหล็กกล้าความแข็งแรงสูง พบร่วงจากการเชื่อมทิกแบบกระแสต่อเนื่อง ทำให้ได้โครงสร้างที่มีรูปปั่งเกรนที่มีความยาวแบบคลั่นน่า ขณะที่กระแสแบบพลัลซ์นั้น ให้โครงสร้างผลึกที่มีรูปปั่งเกรนที่สมมาตร ขนาดเกรนในพื้นที่การหลอมละลายมีขนาดเล็กกว่า ทำให้ค่าความแข็งแรงที่แข็งแรงกว่า กระแสแบบต่อเนื่องไม่แสดงค่าร้อยละการยึดตัวขณะที่กระแสแบบพลัลซ์นั้นให้ร้อยละการยึดตัวเท่ากับ 5 และเกิดการแยกตัวส่วนผสมทางเคมี (Segregation) ต่ำกว่า ส่งผลทำให้รอยเชื่อมมีค่าความแข็งแรงสูง Reynolds et al. [2] ทำการลดขนาดของรอยต่อชนเหล็กกล้าไร้สนิมเกรด 304L หนา 3.2 mm ด้วยการเชื่อมด้วยการเสียดทานแบบกวน พบร่วงความเร็ว รอบที่สูงกว่า ให้ความร้อนต่อแนวเชื่อมที่สูง ความร้อน

ที่ต่ำกว่าทำให้เกิดอุณหภูมิแนวเชื่อมต่ำ เม็ดเกรนในรอยเชื่อมมีขนาดที่เล็กและมีความแข็งแรงกว่า ความเด่นตกค้างที่เกิดขึ้นในแนวเชื่อมมีลักษณะเดียวกับที่เกิดในแนวเชื่อมด้วยการหลอมละลาย และพบขนาดเกรนของแนวเชื่อมมีขนาดลดลงต่ำสุดประมาณ 7.6 μm Liu et al. [3] ศึกษาการทำให้เกิดผลึกใหม่ที่ผิวน้ำของเหล็กกล้าไร้สนิม 316L โดยการใช้ไอนิกอัลตราโซนิกชักตื้นนิ่ง ในการลดขนาดเกรนของพื้นผิวความลึกไม่เกิน 30 μm ของเหล็กกล้าไร้สนิม 316L พบร่องของผลึกระดับนาโนที่ผิวน้ำประมาณความลึก 5 μm ทำให้เกิดเม็ดเกรนขนาดประมาณ 10 μm และมีการเรียงตัวที่ไม่เป็นระเบียบที่ความลึกของชั้นผิว 5-30 μm โครงสร้างประกอบด้วยเกรนละเอียด และชั้บเกรนที่ขนาดประมาณ 10 - 100 μm การเพิ่มค่าการสั่นสะเทือนไม่ส่งผลต่อขนาดเกรนที่ผิวน้ำของชิ้นงาน แต่ส่งผลต่อความลึกของการเปลี่ยนแปลงเม็ดเกรนที่ลึกลง การเปลี่ยนแปลงของขนาดเกรนเกิดจากความหนาแน่นสูงของดิสโลเกชัน และการก่อແບกการเจือน ประจักษ์ อ่างบุญตา และ สมชัย เข็มเจริญ [4] ออกแบบและสร้างเครื่องมุนวนอิเล็กโทรดการเชื่อม GTAW เพื่อลดปัญหาการแตกร้าวขณะร้อนในรอยเชื่อมอัลูมิเนียม 6063 การทดลองทำการศึกษาอิทธิพลการมุนวนอิเล็กโทรด เช่น เส้นผ่าศูนย์กลางการมุนวน 1.0-3.0 mm และความเร็วในการมุนวนของอิเล็กโทรด 45-210 รอบต่อนาที เพื่อเบรี่ยบเทียบโครงสร้างจุลภาคและสมบัติทางกลของรอยเชื่อม ผลการทดลอง พบรการมุนวนอิเล็กโทรดในการเชื่อมอัลูมิเนียมสามารถทำให้เดนไดร์ทแตกตัวเป็นตัวก่อให้เกิดผลึกใหม่ ทำให้เกรนมีขนาดเล็ก มีอิทธิพลต่อการลดการแตกร้าวร้อนได้ การมุนวนอิเล็กโทรดมีอิทธิพล

ต่อค่าความแข็งของรอยเชื่อม โดยค่าความแข็งที่รัศมีต่างๆ มีค่าต่ำกว่าชิ้นงานปกติแต่ไม่มีความสัมพันธ์กับรัศมีการหมุนวน การวิเคราะห์ความกว้างของรอยเชื่อม อิทธิพลของการหมุนวนอิเล็กโทรดที่มีรัศมีต่างกัน ทำให้ความกว้างของรอยเชื่อมมีแนวโน้มที่จะเพิ่มขึ้น เมื่อรัศมีในการหมุนอิเล็กโทรดเพิ่มสูงขึ้น การวิเคราะห์การหลอมลึกของรอยเชื่อม อิทธิพลของการหมุนวนอิเล็กโทรดที่มีรัศมีต่างกัน ทำให้การหลอมลึกของรอยเชื่อมมีแนวโน้มที่ลดลง เมื่อรัศมีในการหมุนอิเล็กโทรดเพิ่มสูงขึ้น

จากข้อมูลเบื้องต้น พบว่าการลดขนาดเกร润 ของแนวเชื่อมเหล็กกล้าไร้สนิมเกรด 304 อาจเป็นไปได้โดยเทคนิคการสั่นสะเทือนโลหะหลอมเหลวในแนวเชื่อม ด้วยเหตุนี้ในงานวิจัยนี้จึงมีแนวคิดในการลดและทำลายโครงสร้างเด่นได้รรถ โดยใช้เทคนิคการหมุนวนแห่งทั้งสเตนเลสเชื่อมทิก เพื่อทำให้เกิดการสั่นสะเทือนทางกลและการกวนในแนวเชื่อมและทำให้เกิดรูปแบบโครงสร้างในแนวเชื่อมตามต้องการต่อไป

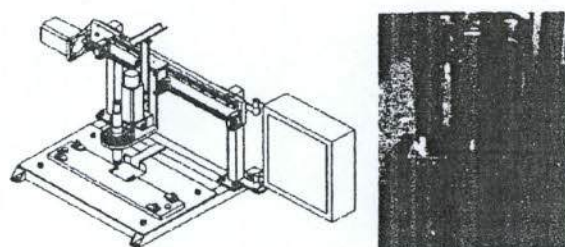
2. วิธีการทดลอง

วัสดุที่ใช้ในการทดลอง คือ เหล็กกล้าไร้สนิม ออกสเตนเนติคเกรด AISI304 (0.05% C, 18.5% Cr, 8.5% Ni, %โดยน้ำหนัก) หนา 1.5 มม ขนาดกว้าง 40 มม. ยาว 120 มม. ถูกประกอบยึดแน่นในอุปกรณ์จับยึด ดังแสดงในรูปที่ 2 เครื่องเชื่อมที่ใช้ในการทดลองเป็น เครื่องเชื่อมอาร์คด้วยแห่งทั้งสเตนเลสแบบอินเวอร์ทเตอร์ มีตัวแปรต่างๆ คือ กระแสไฟฟ้า 60-90 แอมป์ ผ่านคุณย์กลางอิเลคโทรด 2.4 มม ความเร็วในการเดินแนวเชื่อม 100-325 มม/นาที การไอลด์ของแก๊สอาร์ก กอน 12 ลิตร/นาที เชื่อมท่ารับ ระยะยื่นหัวอิเลคโทรด

3.6 มม ระยะอาร์ค 1.5 มม ความเร็วรอบของการหมุนวนอิเล็กโทรด 0-300 รอบต่อนาที การเชื่อมเป็นแบบการเชื่อมเดินแนวบันแผ่นเหล็กกล้าไร้สนิม 304 (Bead on plate) โดยไม่มีการเติมลวดเชื่อม ชิ้นงานที่เชื่อมเสร็จถูกปล่อยให้เย็นตัวในอุปกรณ์จับยึด จากนั้นถอดออกมาทำการตรวจสอบโครงสร้างจุดภาค



รูปที่ 1 ชิ้นงานและการจับยึดในอุปกรณ์จับยึด



(a) ภาพ 3 มิติเครื่องหมุนวนอิเลคโทรด

(b) ขั้วหมุนวน

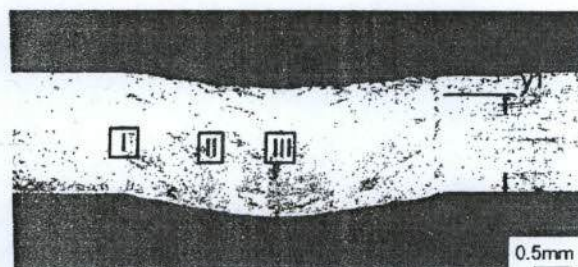
รูปที่ 2 เครื่องหมุนวนอิเลคโทรด

3. ผลการทดลองและการวิเคราะห์

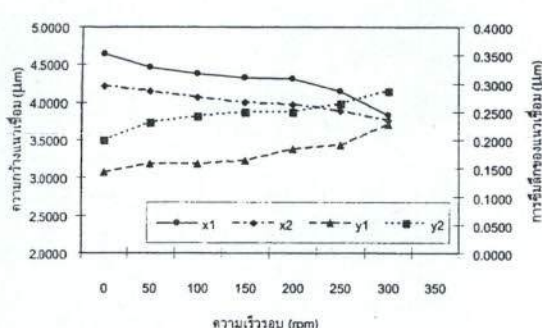
3.1 อิทธิพลความเร็วรอบต่อระยะห่างแขนเดนไดร์ททุติยภูมิ

รอยต่อชนเหล็กกล้าไร้สนิมถูกทำการเชื่อมด้วยกระแสไฟฟ้า 70 แอมป์ ความเร็วเดินแนวเชื่อม 200

mm/min และความเร็วของการหมุนของหัวอิเล็กทรอด 0-350 rpm ผลการทดลองที่ได้มีดังนี้



รูปที่ 3 โครงสร้างมหภาคของรอยเชื่อมเหล็กกล้าไร้สนิม 304 ด้วยความเร็วอบ 300 rpm



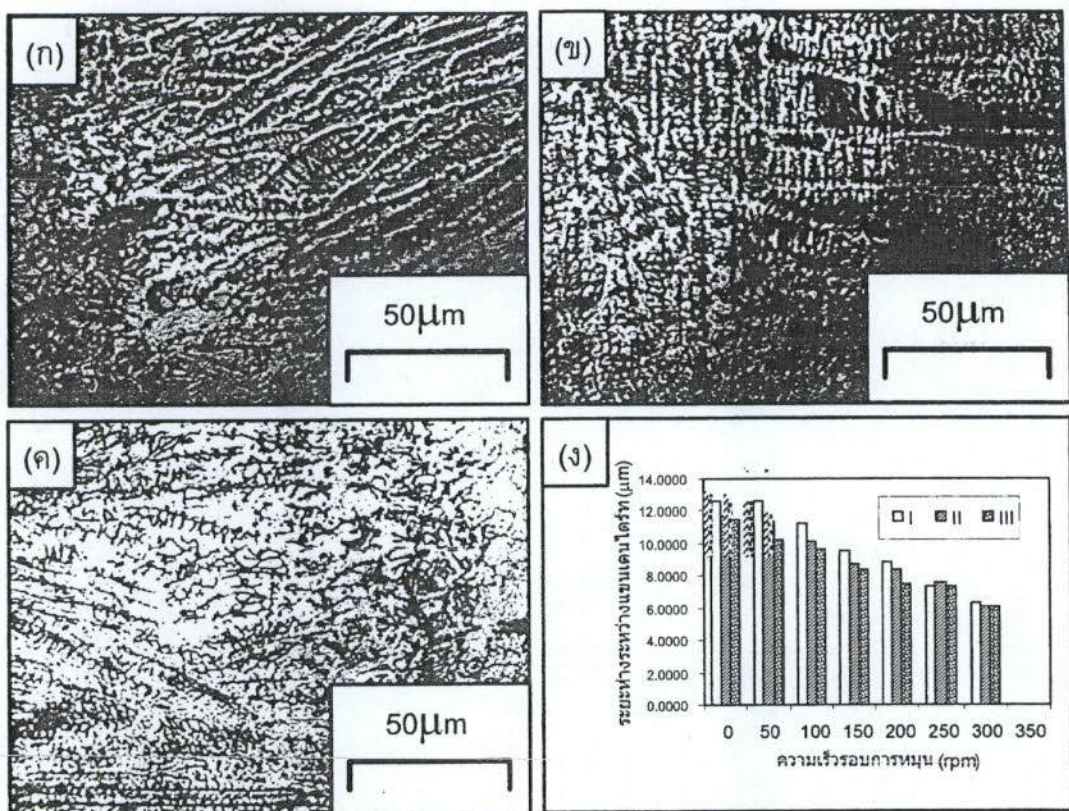
รูปที่ 4 ความกว้างของโลหะเชื่อมที่ความเร็วอบต่างๆ: (x1= ความกว้างผิวน้ำ x2= ความกว้างด้านชึมลึก y1= ความกว้างผิวน้ำ และ y2= ระยะชึมลึก)

รูปที่ 3 แสดงโครงสร้างมหภาคของแนวเชื่อมตั้งจากกับพิษทางการเดินแนวเชื่อม โดยที่พิษทางการเดินแนวเชื่อมนั้นพุ่งออก มาจากหน้ากระดาษของชิ้นงาน เชื่อมด้วยความเร็วอบ 300 rpm โครงสร้างมหภาคแสดงความแตกต่างระหว่างโลหะหลักเหล็กกล้าไร้สนิมและบริเวณโลหะเชื่อมอย่างชัดเจน นอกจากนั้น เมื่อพิจารณาพื้นที่การเชื่อมแล้ว พบรูปร่างของแนวเชื่อมที่แตกต่างกันเมื่อความเร็วอบของการเชื่อมเกิดการเปลี่ยนแปลงดังแสดงในรูปที่ 4 ความกว้างของผิวน้ำแนวเชื่อมแปรผันกับความเร็วอบการหมุนวน แต่ผิวน้ำด้านการชึมลึกนั้นแปรผันตามความเร็วอบ

การหมุนวน การเกิดลักษณะนี้คาดว่าเกิดจากการหมุนวนที่เร็วขึ้น ทำให้ความร้อนที่เกิดในแนวเชื่อมนั้นเกิดการแผ่ขยายไปสู่ด้านข้างของแนวเชื่อมที่ปริมาณน้อยลง และส่งผลทำให้การเปลี่ยนแปลงโครงสร้างของแนวเชื่อมถูกจำกัดในบริเวณที่แคบลง นอกจากนั้น ความร้อนที่ลดลงส่งผลต่อการให้ความร้อนในแนวตั้งของแนวเชื่อมทำให้ความกว้างของชิ้นงานที่ด้านล่างของแนวเชื่อมบวกร่วมการซึมลึกแคบลงไปด้วย

รูปที่ 5 แสดงโครงสร้างจุลภาคของโลหะเชื่อมที่ 3 แบบต่างๆ ถึง III ดังแสดงในรูปที่ 3 ของขั้นทดสอบที่ เชื่อมด้วยความเร็วอบ 300 rpm พบว่าที่บริเวณขอบเขตระหว่างโลหะหลักและพื้นที่การหลอมละลายนั้น เกิดโครงสร้างเด่นไดร์ทต่ออุอกมาจากโลหะหลักขนาดของเด่นไดร์ทที่พบมีความหมายและขนาดใหญ่ ดังแสดงในรูปที่ 5 (g) ทำการวัดซึ่งว่างระหว่างแขนไดร์ททุติยภูมิ (Secondary Dendrite Arm Spacing: SDAS) จำนวน 20 จุด พบรูปมีค่าเฉลี่ยประมาณ $6.3162 \mu\text{m}$ ขณะที่บริเวณขอบเขตระหว่างโลหะหลักและกึ่งกลางแนวเชื่อมดังแสดงในรูปที่ 5 (x) และ กึ่งกลางของโลหะเชื่อมนั้นดังแสดงในรูปที่ 5 (y) มีรูปร่างของโครงสร้างเด่นไดร์ทที่สั้นลงเสียดกวา ค่า SDAS มีค่าเฉลี่ยประมาณ $6.0417 \mu\text{m}$ และ $6.0276 \mu\text{m}$ ตามลำดับ

รูปที่ 5 (g) ทำการเปรียบเทียบค่า SDAS ของรอยต่อที่เชื่อมด้วยความเร็วอบจาก 0 – 350 rpm พบรูปเพิ่มของความเร็วอบทำให้ค่า SDAS ลดลงทั้ง 3 แบบต่าง อย่างไรก็ตามเมื่อความเร็วอบมีค่าสูงคือ 350 rpm นั้นไม่สามารถวัดค่าความเร็วในการเชื่อมได้ เนื่องจากการหมุนวนมีค่าสูงเกินไปทำให้โลหะหลอมเหลวที่อยู่ในปอกหลอมละลายกระเด็นออก



รูปที่ 5 โครงสร้างจลภาคของแนวเขื่อมที่ความเร็วรอบ 300 rpm: (ก) ตำแหน่งขอบโลหะเขื่อม (ข) ตำแหน่งขอบและกึ่งกลางแนวเขื่อม (ค) กึ่งกลางแนวเขื่อม และ (ง) ความสัมพันธ์ระหว่างระยะห่างแนวเดนไดร์ฟ (SDAS) ความเร็วรอบการหมุน และตำแหน่งการตรวจสอบ

มา และทำให้แนวเขื่อมนั้นเกิดเป็นจุดบกพร่อง และไม่สามารถเติมผิวหน้าแนวเขื่อมได้ การลด SDAS ลงนี้ คาดว่าเกิดจากภารกวนและการสั่นสะเทือนจากการ อาร์คของแท่งหังสะเดน ทำให้โลหะหลอมเหลาเกิด การเดิบโตเป็นเดนไดร์ฟที่ยาวและหมายบนน้อยลง

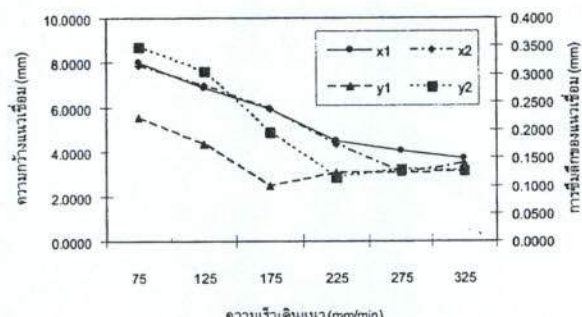
3.2 อิทธิพลความเร็วเดินแนวต่อระยะห่างแนวเดนไดร์ฟทุติยภูมิ

ตัวแปรการเขื่อมที่ใช้ในการศึกษาประกอบไปด้วย ความเร็วรอบ 300 rpm ความเร็วเดินแนวเขื่อม 75-325 mm/min และกระแสไฟฟ้า 70 A

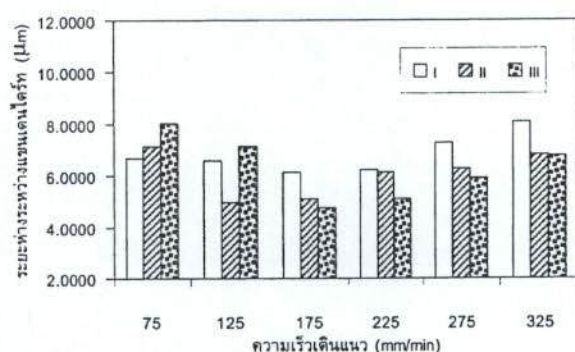
รูปที่ 6 แสดงความสัมพันธ์ระหว่างความเร็วเดินแนวเขื่อม ความกว้างของแนวเขื่อม และการซึมลึก

ของแนวเขื่อม พบร่วมกับความกว้างของผิวหน้าแนวเขื่อม ความกว้างของระยะการซึมลึก ระยะการเว้าของผิวหน้า และการซึมลึกด้านหลังแนวเขื่อม มีแนวโน้มที่มีค่าลดลงเมื่อความเร็วเดินแนวเขื่อมมีค่าเพิ่มขึ้นถึงช่วง 175-225 mm/min จากนั้นค่าต่างๆ ที่ทำการวัดนั้น มีค่าที่ลดลงเล็กน้อยจนกระทั่งค่อนข้างสม่ำเสมอ การเกิดการลดขนาดในลักษณะนี้คาดว่าเกิดจากการเดินแนวเขื่อมที่มีความเร็วมากเกินไปทำให้ค่าความร้อนที่ให้แก่แนวเขื่อมนั้น (Heat input) มีค่าที่ลดลง [5] และทำให้ความสามารถในการทำให้โลหะเกิดการหลอมละลายลดต่ำลง แต่อย่างไรก็ตามการลดลงในลักษณะนี้ดูเหมือนว่าจะทำให้การทดลองนี้ได้ผลการทดลองดัง

จุดประสงค์เพื่อว่าข้อบขดของแนวเสื้อมนั้นมีค่าที่ลดต่ำลงนั้นเอง [6]



รูปที่ 6 ความกว้างของโลหะเสื้อมที่ความเร็วเดินแนวต่างๆ:
(x1=ความกว้างผิวน้ำ x2=ความกว้างด้านซึมลึก y1=ความกว้างผิวน้ำ และ y2=ระยะซึมลึก)

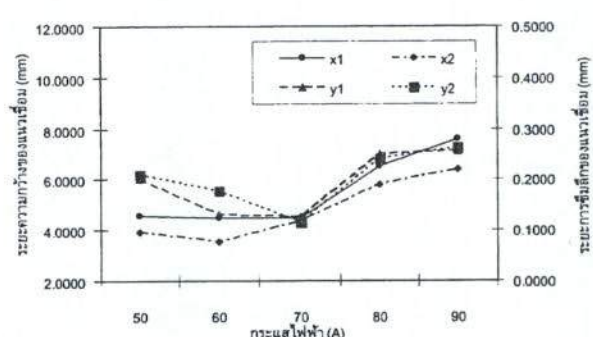


รูปที่ 7 ความสัมพันธ์ระหว่างระยะห่างแนวแนวนเดนไดรฟ์ ความเร็วในการหมุน และตำแหน่งการตรวจสอบ

รูปที่ 7 ทำการเปรียบเทียบค่า SDAS ของรอยต่อที่เสื้อมด้วยความเร็วเดิน 75-325 mm/min พบร่วงการเพิ่มของความเร็วเดินทำให้ SDAS ลดลง แต่รูปแบบการลดขนาดนั้นไม่ได้เรียงลำดับเหมือนกับการเกิดใน การเปลี่ยนแปลงความเร็วรอบดังแสดงในรูปที่ 5 (ง) การเกิดการลดขนาดนั้น ไม่ได้เฉพาะเจาะจงที่จะมีขนาดลดลงจากด้านโลหะหลักเข้าสู่กีกล่างแนวเสื้อม แต่สามารถเกิดได้ทุกด้าน สำหรับการเกิดลักษณะนี้คาด

ว่าการเดินแนวที่เร็วขึ้นทำให้เกิดการครอบกวนการเย็บตัวที่ไม่เป็นรูปแบบ แต่การเย็บยันคำพูดนี้ต้องมีการศึกษารูปแบบการเย็บตัวของแนวเสื้อมต่อไป อย่างไรก็ตามที่การเพิ่มความเร็วเดินแนวเสื้อมนั้น ค่า SDAS นั้นมีแนวโน้มที่ลดลง นอกจากนั้นค่า SDAS นี้มีค่าเพิ่มขึ้น เมื่อความเร็วเดินแนวเสื้อมเพิ่มจาก 225-325 mm/min ที่การศึกษาอิทธิพลการเดินแนวต่อการลด ค่า SDAS นี้พบ ว่าความเร็วเดินแนว 175 mm/min ทำให้เกิดความละเอียดมากที่สุดและใช้เป็นตัวกำหนดการเสื้อมในสภาพต่อไป

3.3 อิทธิพลกระแสไฟฟ้าการเสื้อมต่อระยะห่างแนวเดนไดรฟ์ทุติยภูมิ

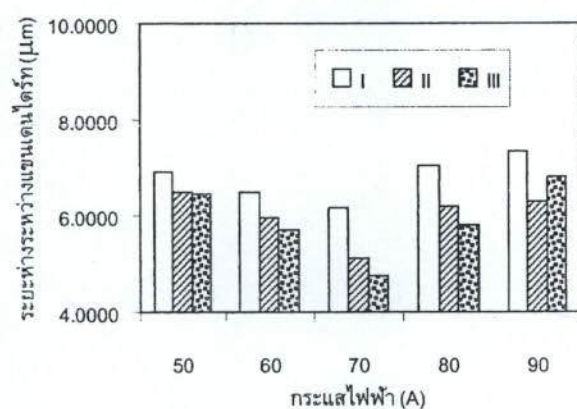


รูปที่ 8 ความกว้างของโลหะเสื้อมที่กระแสไฟฟ้าเสื้อมต่างๆ:
(x1=ความกว้างผิวน้ำ x2=ความกว้างด้านซึมลึก y1=ความกว้างผิวน้ำ และ y2=ระยะซึมลึก)

ตัวแปรการเสื้อมที่ใช้ในการศึกษาประกอบไปด้วย ความเร็วรอบ 300 rpm ความเร็วเดินแนวเสื้อม 175 mm/min และกระแสไฟฟ้า 50-90 A

รูปที่ 8 แสดงความสัมพันธ์ระหว่างกระแสไฟฟ้าที่ใช้ในการเสื้อม ความกว้างของแนวเสื้อม และการซึมลึกของแนวเสื้อม พบร่วงความกว้างของผิวน้ำแนวเสื้อม ความกว้างของระยะการซึมลึก ระยะการเว้าของ

ผิวน้ำ และการซึมลึกด้านหลังแนวเชื่อม มีแนวโน้มที่มีค่าลดลงเพียงเล็กน้อยเมื่อกระแสไฟฟ้าเพิ่มขึ้นจาก 50-75A และมีค่าเพิ่มขึ้นเมื่อกระแสไฟฟ้าที่เพิ่มขึ้นมีค่าเพิ่มขึ้น การเกิดการเปลี่ยนแปลงนี้เกิดขึ้นเนื่องจากค่าความร้อนที่ให้แก่แนวเชื่อมนั้นมีค่าเพิ่มขึ้น [5] ทำให้ความร้อนที่สะสมในแนวเชื่อมนั้นเพิ่มขึ้น การลดลงอย่างต่อเนื่องของโลหะเชื่อมดีขึ้น และเกิดการแผ่นย้ายความร้อนออกไปทำให้พื้นที่การหลอมละลายและพื้นที่ที่ได้รับอิทธิพลความร้อนมีค่าเพิ่มขึ้น



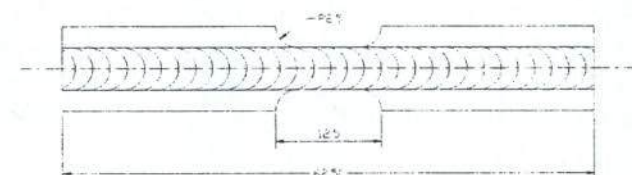
รูปที่ 9 ความสัมพันธ์ระหว่างระยะห่างแนวเชื่อมเดนไดร์ฟ กระแสไฟฟ้าการเชื่อม และตำแหน่งการตรวจสอบ

รูปที่ 9 แสดงผลการวัด SDAS ของรอยต่อที่เชื่อมด้วยกระแสไฟฟ้า 50-90A พบว่า SDAS มีค่าลดลง เมื่อกระแสไฟฟ้ามีค่าเพิ่มขึ้นจนถึงค่าที่เหมาะสมที่สุด ในการทดลองนี้ คือ 70A อย่างไรก็ตาม เมื่อค่าความร้อนที่ให้เพิ่มขึ้นหรือกระแสเพิ่มขึ้นทำให้ความแตกต่างระหว่างอุณหภูมิของโลหะหลอมเหลวและช่วงการแข็งตัวเพิ่มมากขึ้น จึงส่งผลโดยตรงต่อเวลาการแข็งตัวและการเพิ่ม SDAS [7] ที่การศึกษาอิทธิพลกระแสไฟฟ้าที่เชื่อมต่อการลด SDAS นี้ พบว่ากระแสไฟฟ้า 70 A ทำ

ให้เกิดโครงสร้างจุลภาคที่มีความละเอียดมากที่สุด มีค่าเฉลี่ย SDAS ประมาณ 5.5104 μm

3.4 ความแข็งแรงดึงของรอยเชื่อม

ความแข็งแรงดึงของชิ้นทดสอบการเปลี่ยนแปลงความเร็วของการหมุนอิเล็กโทรด คือ ค่าสภาวะการเชื่อมที่ 1-8 ในตารางที่ 1 พบว่าการเปลี่ยนแปลงตัวแปรการหมุนนั้นส่งผลทำให้ค่าความแข็งแรงของแนวเชื่อมมีค่าที่เพิ่มขึ้น ดังผลการลดลงของค่า SDAS ที่แสดงในรูปที่ 5 (ง) นอกจากนี้ทำการศึกษาค่าความหนึ่ง (Toughness) ของวัสดุตามสูตรการคำนวณที่แสดงไว้โดย Dieter [8] พบว่าค่าความหนึ่งของรอยต่อนั้นมีค่าที่เพิ่มขึ้นเมื่อความเร็วของการหมุนเพิ่มขึ้น



รูปที่ 10 ชิ้นทดสอบแรงดึง (หน่วย: มม.)

ตารางที่ 1 แสดงสภาวะการเชื่อมที่เกิดจากการเปลี่ยนแปลงตัวแปรการเชื่อม โดยทำการออกแบบชิ้นทดสอบใหม่ให้มีรูปร่างดังแสดงในรูปที่ 10 ค่าความแข็งแรงดึงของแนวเชื่อมที่ทำการศึกษาการเปลี่ยนแปลงความเร็วเดินแนวเชื่อม (สภาวะการเชื่อมที่ 7 และ 9-14) พบว่าความแข็งแรงดึงของชิ้นทดสอบนั้นมีค่าเพิ่มขึ้น เมื่อความเร็วเดินแนวเชื่อมเพิ่มขึ้นจาก 75-175 mm/min และลดลงเมื่อความเร็วเดินแนวเชื่อมเพิ่มขึ้นจาก 200-325 mm/min การเปลี่ยนแปลงค่าความแข็งแรงดึงเกิดขึ้นจากการลด SDAS ดังแสดงในรูปที่ 7

ตารางที่ 1 ความแข็งแรงดึงของแนวเขื่อมที่สภาวะการเชื่อมต่างๆ

สภาวะ	ความเร็วรอบ (rpm)	ความเร็วเดิน (mm/min)	กระแทกไฟฟ้า (A)	ความแข็งแรงสูงสุด (MPa)	ความหนึယ (Toughness, MN.m/m ³)
1	0	225	70	576.67	1510.875
2	50	225	70	584.37	1531.049
3	100	225	70	592.16	1557.381
4	150	225	70	596.09	1573.388
5	200	225	70	596.51	1574.786
6	250	225	70	600.46	1585.214
7	300	225	70	615.73	1625.217
8	350	225	70	-	-
9	300	75	70	570.66	1375.291
10	300	125	70	585.89	1464.725
11	300	175	70	628.15	1576.756
12	300	250	70	612.68	1531.700
13	300	275	70	611.38	151.222
14	300	325	70	608.51	1509.105
15	300	175	50	618.48	1546.200
16	300	175	60	637.21	1567.531
17	300	175	80	608.18	1350.160
18	300	175	90	592.34	1314.995
Base	-	-	-	654.19	1982.196

นอกจากนั้นค่า SDAS ที่ลดลงนั้น ส่งผลทำให้ค่าความหนึယของแนวเขื่อมที่เขื่อมด้วยความเร็วเดินแนวเขื่อม 175 mm/min นั้นมีค่าความหนึယสูงสุด

การเปลี่ยนแปลงค่าความแข็งแรงดึงและความหนึယของแนวเขื่อม ที่เกิดจากการเชื่อมด้วยกระแทกไฟฟ้าที่เปลี่ยนแปลงจาก 50-90 A มีลักษณะคล้ายกับการเกิดการเปลี่ยนแปลงค่าความแข็งแรงดึงและความหนึယที่เกิดในการเปลี่ยนแปลงความเร็วรอบการหมุนของอิเล็กโทรด และความเร็วเดินแนวเขื่อม กล่าวคือ การลดค่า SDAS ส่งผลโดยตรงต่อการเพิ่มค่าความแข็งแรงดึงและความหนึယของแนวเขื่อม ดังนั้นการศึกษาและควบคุมให้ค่า SDAS นั้นมีการศึกษาต่อไปเพื่อให้ได้แนวเขื่อมที่มีความแข็งแรงและหนึယ

สูงสุดเพื่อการนำไปใช้งานในภาคอุตสาหกรรม ที่สภาวะการเชื่อมต่างๆ ที่ทำการศึกษา สภาวะการเชื่อมที่ดีที่สุดนั้น คือ ตัวแปรการเชื่อมประกอบไปด้วย ความเร็วรอบ 300 rpm ความเร็วเดินแนว 175 mm/min และกระแทกไฟฟ้า 70 แอมป์ร์ ที่ค่าประมาณ 5.5104 μm โดยให้ค่าความแข็งแรงดึงสูงสุด 629 MPa และค่าความหนึယประมาณ 1.57 GPa เมื่อเปรียบเทียบกับเหล็กกล้าไร้สนิมที่นำมาทำการเชื่อมพบว่ามีค่าความแข็งแรงดึงสูงสุดและค่าความหนึယต่ำกว่าโลหะหลักประมาณ 4 และ 20% ตามลำดับ

4. สรุปผลการทดลอง

งานวิจัยนี้ได้ทำการศึกษาการเปลี่ยนแปลงตัวแปรการเชื่อมทิกหมุนวนอิเล็ก trod ที่ประกอบด้วยความเร็วในการหมุนวน และความเร็วเดินแนวเชื่อม ที่มีผลต่อการเปลี่ยนแปลงโครงสร้างจุดภาค ผลการทดลองมีดังนี้

- 4.1 การเพิ่มความเร็วของกระบวนการหมุนอิเล็ก trod ความเร็วในการเดินแนว และกระแทกไฟฟ้า เชื่อม ส่งผลโดยตรงทำให้ค่า SDAS ลดลงแต่หากเพิ่มความเร็วของกระบวนการมากเกินไปทำให้น้ำโลหะกระเด็นออกจาบบ่อนหลอมละลายและไม่ทำให้เกิดแนวเชื่อมขึ้น
- 4.2 ค่าความเร็วเดินแนวและกระแทกไฟฟ้าที่มากเกินไปทำให้ค่า SDAS เพิ่มขึ้น
- 4.3 ตัวแปรการเชื่อมที่เหมาะสมในการทำให้เกิดแนวเชื่อมที่มีโครงสร้างเด่นได้ที่สุดคือความเร็วรอบ 300 rpm ความเร็วเดินแนว 175 mm/min และกระแทกไฟฟ้า 70 แอมเปอร์ ที่ค่าประมาณ 5.5104 μm

กิตติกรรมประกาศ

บทความนี้ได้รับการสนับสนุนจาก สำนักงานคณะกรรมการวิจัยแห่งชาติ (วช.)

เอกสารอ้างอิง

- [1] Mohandas, T. and Reddy, G.M. 1997. A Comparison of Continuous and Pulse Current Gas Tungsten Arc Welds of an Ultra High Strength Steel. *J. of Mat. Pro. Tech.*, 69:222-226.

- [2] Reynolds, A.P., Tang, W., Gnaupel-Herold, T. and Prask, H. 2003. Structure, Properties and Residual Stress of 304L Stainless Steel Friction Stir Welds. *Scripta Materialia*, 48:1289-1294.
- [3] Liu, G., Lu, J., and Lu, K. 2000. Surface Nano crystallization of 316L Stainless Steel Induced by Ultra sonic Shot Peening. *Mat. Sci. and Eng. A.*, 286:91-95.
- [4] ประจำชั้น อ่างบุญตา และ สุนชัย เที่ยมเจริญ. 2550. เครื่องหมุนวนอิเล็ก trod สำหรับเชื่อมอะลูминีียม. การประชุมวิชาการข่ายงานวิศวกรรมอุตสาหการประจำปี 2550, 24-26 ตุลาคม, ภูเก็ต, หน้า 633-638.
- [5] Brandon, D. and Kaplan, W.D. 1997. *Joining Processes, An introduction*. John Wiley&Sons, New York, 364p.
- [6] Branes, T.A. and Pashby, I.R. 2000. Joining Techniques for Aluminum Spaceframes used in Automobiles Part I-Solid and Liquid Phase Welding. *J. of Materials Processing Technology*, 99:62-71.
- [7] Askeland, D.R. and Phule, P.P. 2006. *The Science and Engineering of Materials*. Thomson Canada Limited. Toronto. 302-343.
- [8] Dieter, G.E. 1988. *Mechanical Metallurgy*. McGraw-Hill Book Company, Singapore, p.282.